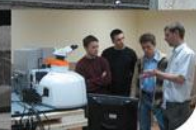


Микроструктурная характеристика наноматериалов с использованием данных синхротронного эксперимента

И.Н. Леонтьев

Физический факультет Южного федерального университета
г. Ростов-на-Дону



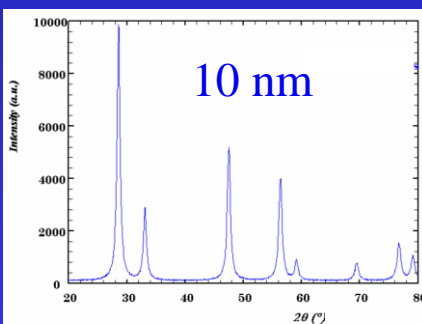
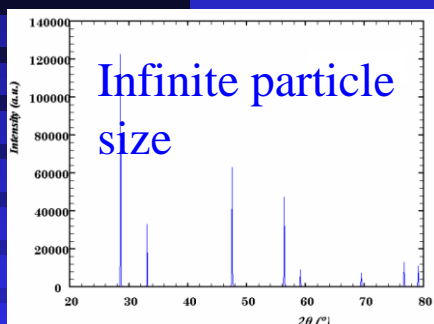
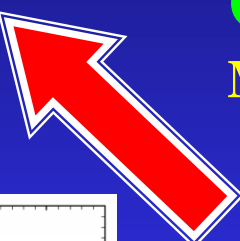
Particle size determination

X-ray difraction

SEM or TEM



Line broaderning



Instrumental Peak Profile
Crystallite Size

Microstrain

Non-uniform Lattice Distortions

Faulting

Dislocations

Antiphase Domain Boundaries

Grain Surface Relaxation

Solid Solution Inhomogeneity



Swiss-Norwegian Beam Lines
at ESRF



Sherrer equation

Bestimmung der Grösse und der inneren Struktur von
Kolloidteilchen mittels Röntgenstrahlen.

Von

P. Scherrer.

Vorgelegt von P. Debye in der Sitzung vom 26. Juli 1918.

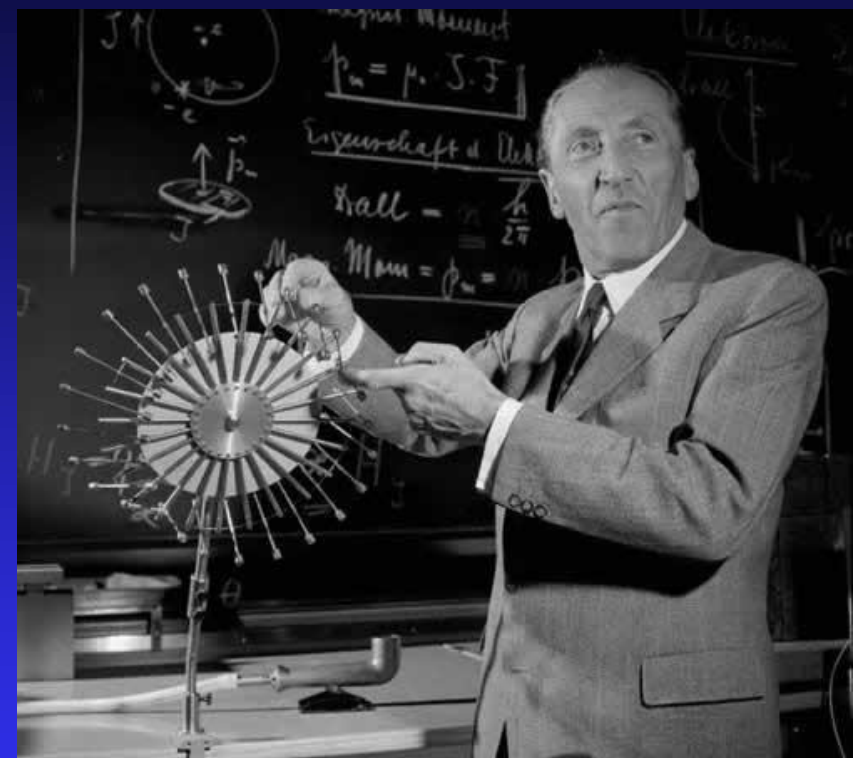
Über die innere Struktur der Kolloidteilchen ist bis jetzt mit Sicherheit nichts bekannt. Es ist daher interessant, typische anorganische und organische Kolloide nach der Methode der regellos orientierten Teilchen¹⁾ auf ihre Röntgeninterferenzen und damit auf ihren inneren Aufbau zu untersuchen. Es sind dabei von vornherein zwei verschiedene Fälle denkbar.

1. Das einzelne Kolloidteilchen besitzt kristallinische Struktur. Dann haben wir auf unsren Röntgenaufnahmen zahlreiche Interferenzen zu erwarten, die in für das Raumgitter charakteristischer Weise angeordnet sind. Man hat sich natürlich zu überlegen, ob Kriställchen von der Größe von Kolloidteilchen noch Anlaß zu solchen Interferenzen geben können, ob nicht durch die Kleinheit der Teilchen die Erkennung der Kristallstruktur in Frage gestellt wird. Die Theorie gibt uns darüber folgende Aufschlüsse:

a) Die Lage der Interferenzen, die durch eine bestimmte kristallinische Substanz veranlaßt werden, hängt gar nicht von der Größe der verwendeten Einzelkriställchen ab. Sie ist ganz allein bestimmt durch die Art des Raumgitters.

b) Die Breite der Interferenzen hängt eng zusammen mit der Größe der verwendeten Einzelkriställchen, und zwar werden

1) P. Debye u. Scherrer, Phys. Z. 17, 277, 1916.



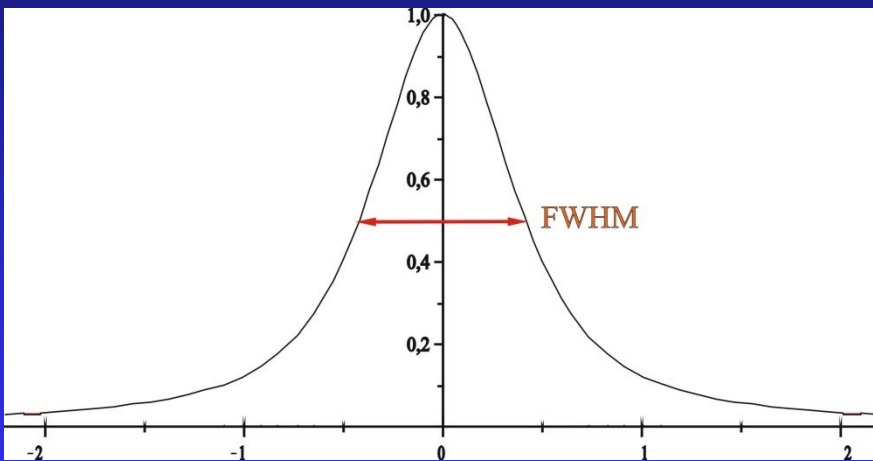
**P. Scherrer, "Bestimmung der Grösse und der inneren Struktur von Kolloidteilchen
mittels Röntgenstrahlen," Nachr. Ges. Wiss. Göttingen 26 (1918) pp 98-100.**

Sherrer equation



$$\langle D_V^S \rangle = \frac{K\lambda}{FWHM \cos\theta}$$

Average volume particle size $\langle D \rangle$



$\langle D \rangle$ - Particle size
 K – Sherrer constant
 λ - wavelength
 $B(2\theta)$ - FWHM
 θ – Bragg angle

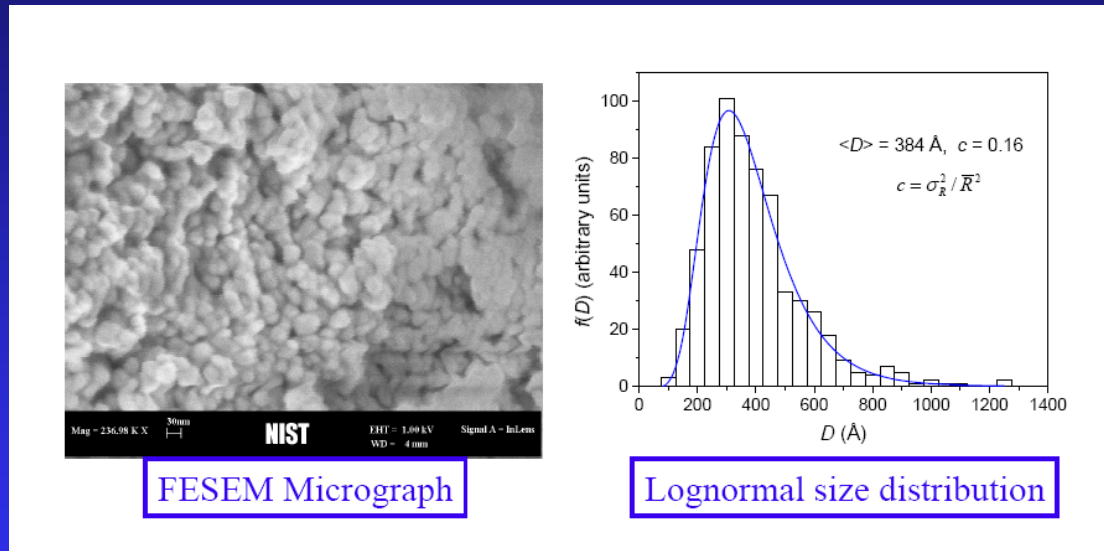
$$\frac{S}{m} = \frac{6}{\rho D_V^S}$$

Area normalized by mass

Sherrer equation

Is it TRUE or FALSE ????????

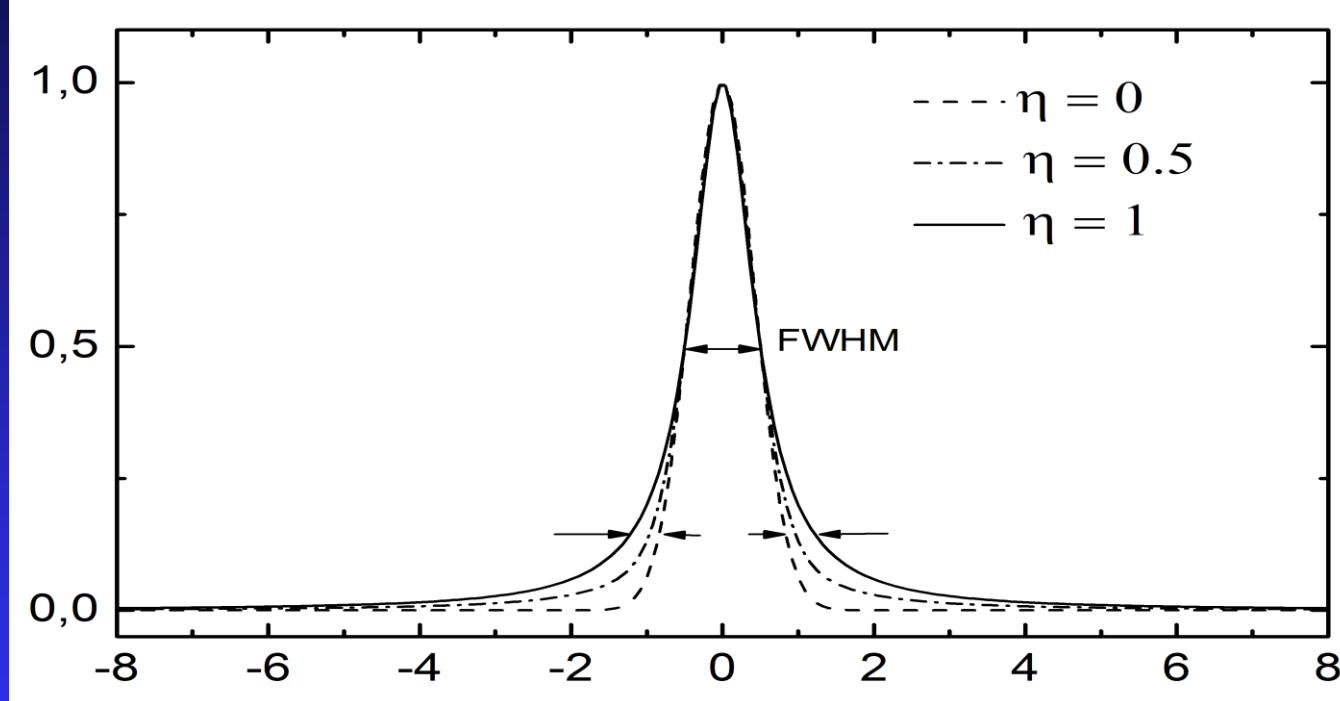
All particles have the **same** size!!!!!!



But If You will ever seen a sample with uniform particle then you just a lucky devil!!!!!!

Pseudo-Voigt function

$$\text{PSEUDO - VOIGT : } pV(x) = \eta L(x) + (1 - \eta)G(x)$$



J. Appl. Cryst. (1987). **20**, 79–83

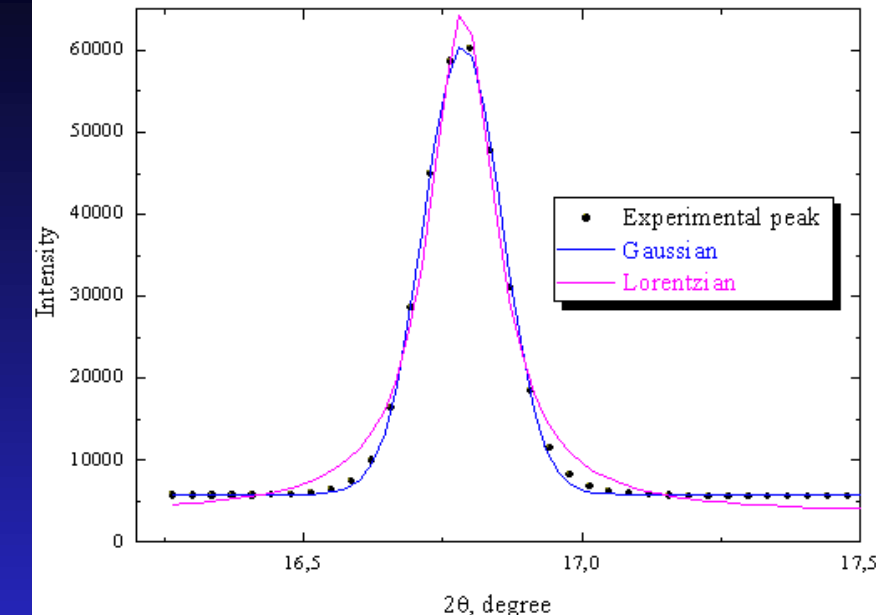
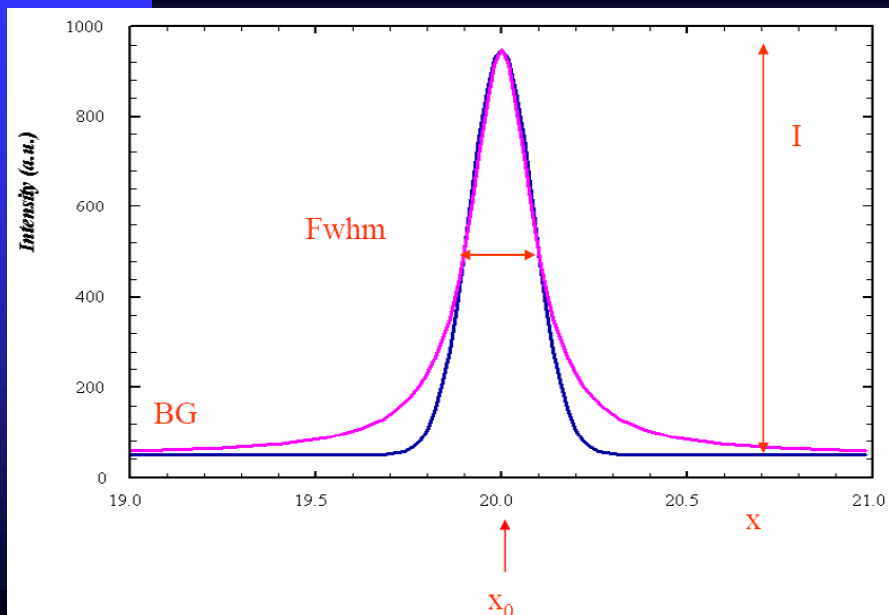
Rietveld Refinement of Debye–Scherrer Synchrotron X-ray Data from Al_2O_3

BY P. THOMPSON, D. E. COX AND J. B. HASTINGS

Brookhaven National Laboratory, Upton, NY 11973, USA

(Received 17 February 1986; accepted 6 October 1986)

Simulation of the diffraction peak



What is the reason of the difference of diffraction peak shape?

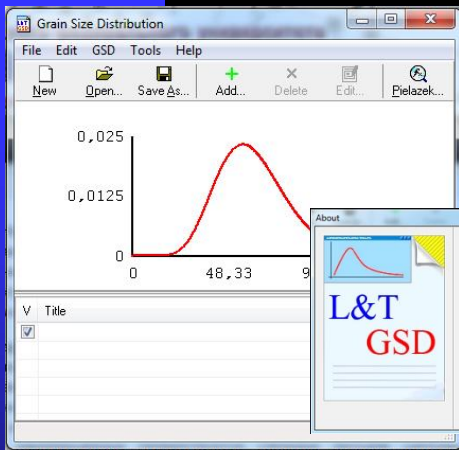
Journal of
Applied
Crystallography
ISSN 0021-8898

Received 21 January 2000
Accepted 22 March 2000

Effect of a crystallite size distribution on X-ray
diffraction line profiles and whole-powder-pattern
fitting

J. I. Langford,^{a*} D. Louër^b and P. Scardi^c

This reason is Grain Size Distribution



Journal of Alloys and Compounds 382 (2004) 128–132

Journal of
ALLOYS
AND COMPOUNDS

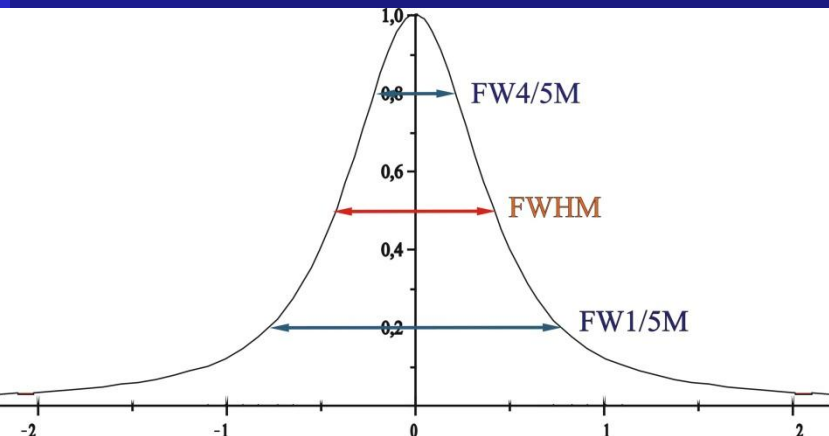
www.elsevier.com/locate/jallcom

$FW\frac{1}{5}/\frac{4}{5}M$ method for determination of the grain size distribution from powder diffraction line profile

Roman Pielaszek

High Pressure Research Center, Polish Academy of Sciences, Sokolowska 29/37, Warsaw, Poland

Received 7 October 2003; received in revised form 21 January 2004; accepted 29 January 2004



$$GSD(R : R_0, m) = \frac{R_0^{-m-1}}{\Gamma(m+1)} R^m e^{-R/R_0}$$

где

$$\begin{cases} R_0 = \frac{\sigma^2}{R} \\ m = \left(\frac{R}{\sigma}\right)^2 - 1 \end{cases}$$

$$\langle D \rangle = \frac{2BC}{FW\frac{4}{5}M}$$

$$\sigma = \frac{2B\sqrt{C}}{FW\frac{4}{5}M}$$

$$A = \operatorname{arcctg} \left(277069 - 105723 \frac{FW\frac{1}{5}M}{FW\frac{4}{5}M} \right)$$

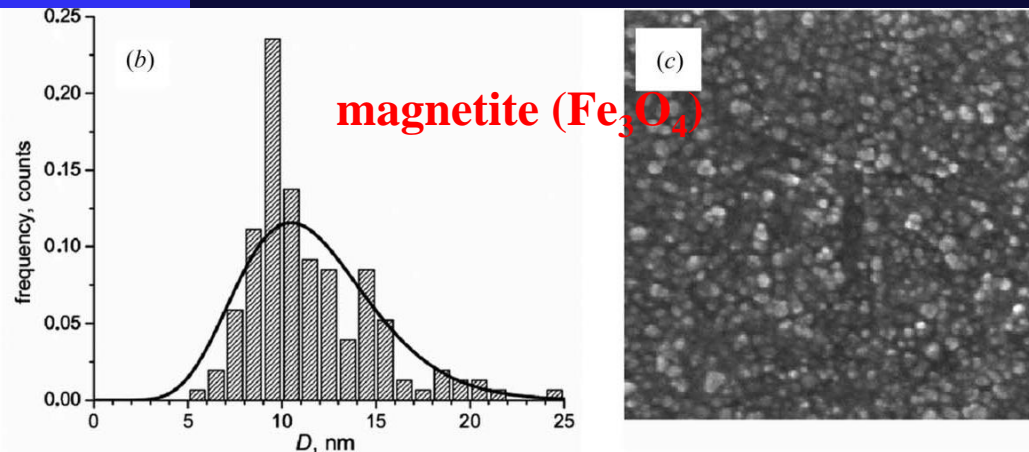
$$B = 0.001555 + 0.00884 \times \operatorname{ctg}(0.002237 - 2101 \times A)$$

$$C = -0.6515 - 463695 \times A$$

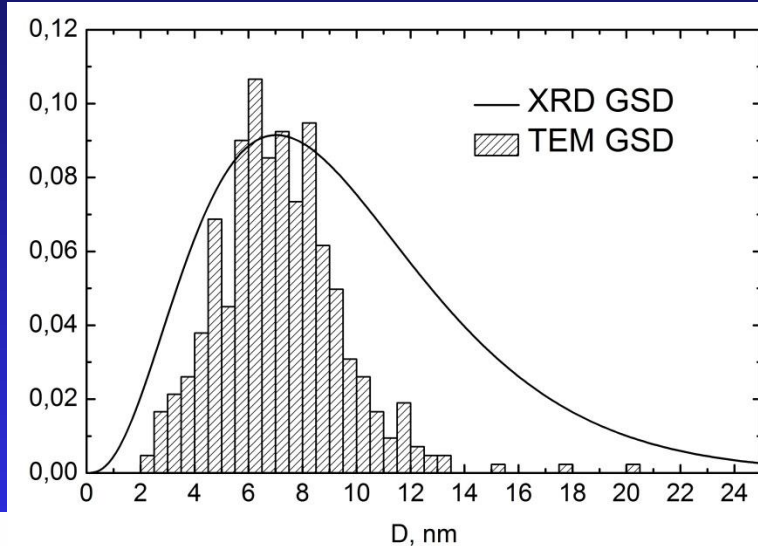
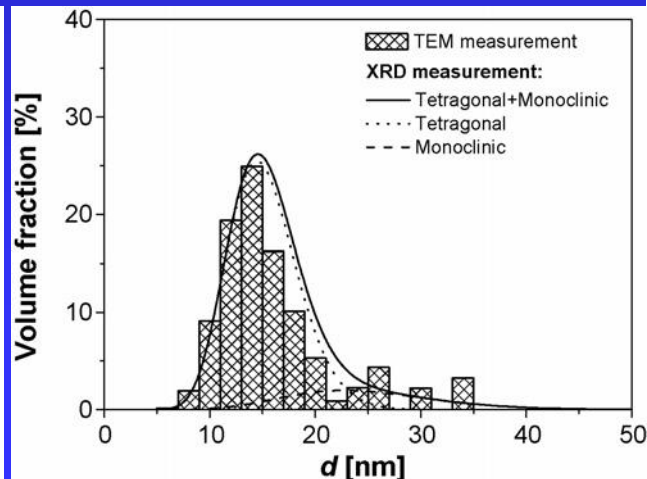
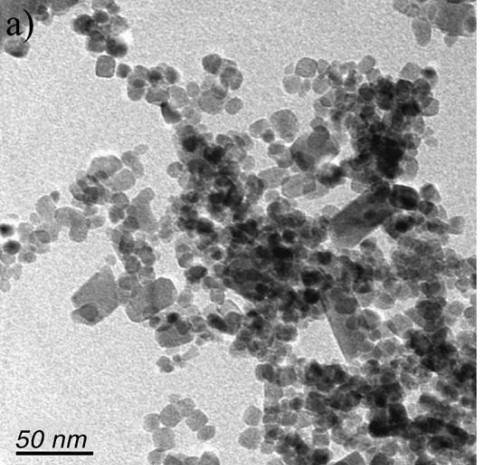
A. Vorobiev, D. Chernyshov, G. Gordeev, D. Orlova

J. Appl. Cryst. (2008). 41, 831–835

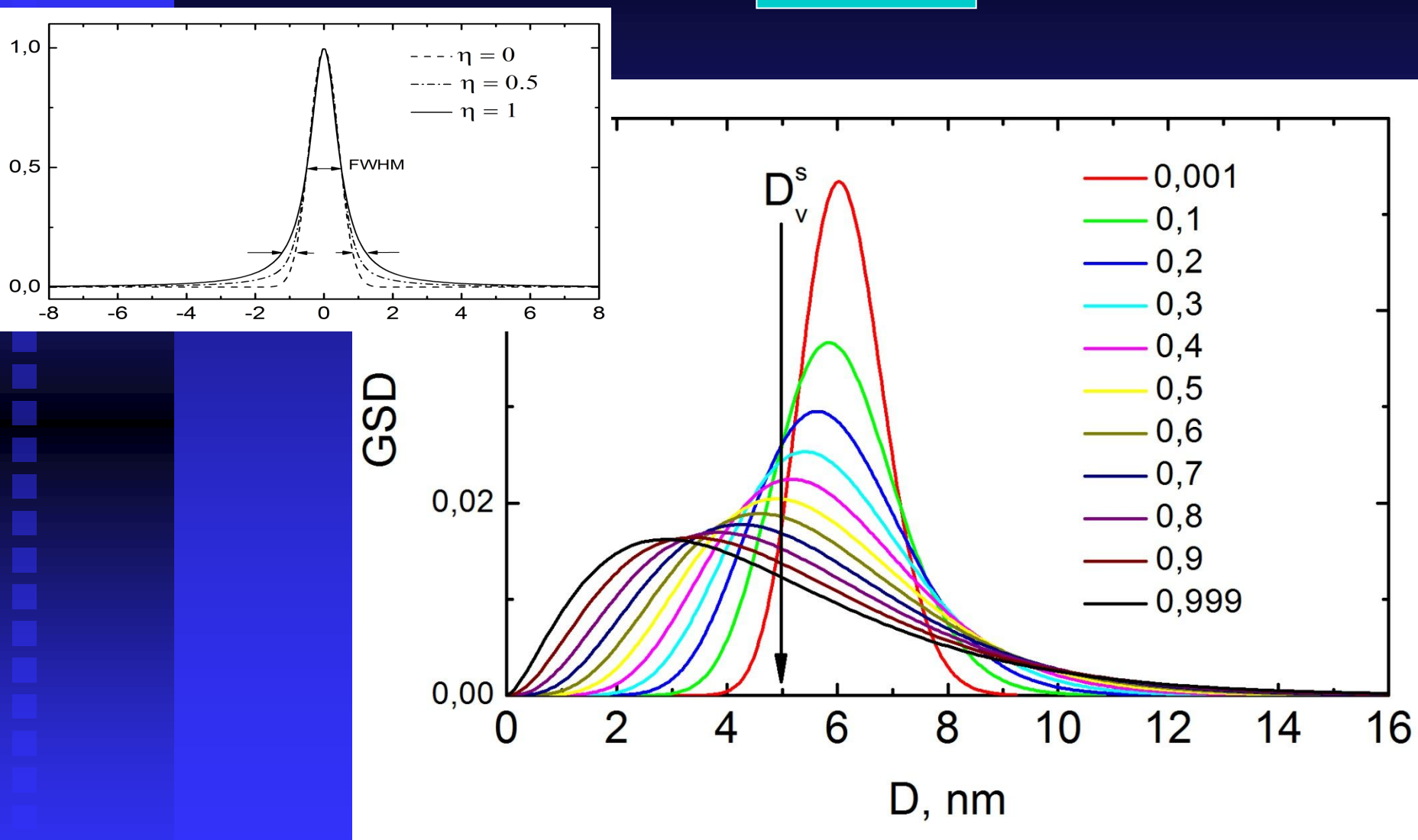
magnetite (Fe_3O_4)



T. Wejrzanowski, R. Pielašek, A. Opalinska,
H. Matysiak, W. Lojkowski, K.J. Kurzydłowski
Applied Surface Science 253 (2006) 204–208



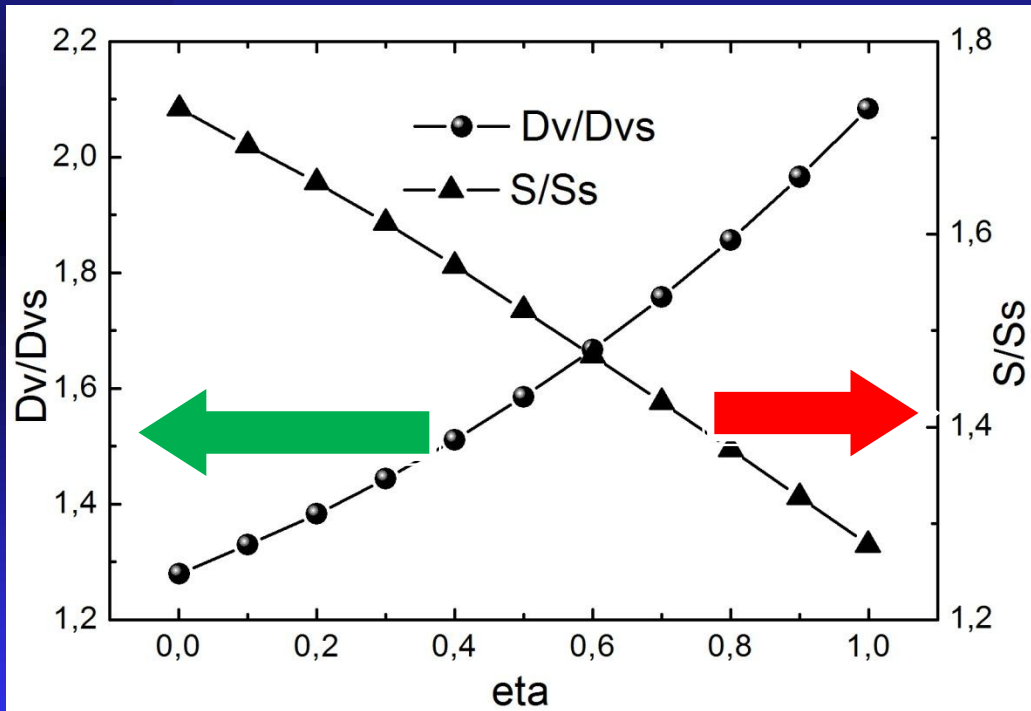
Calculated results using $FW\frac{1}{5}/\frac{4}{5}M$ method



New formulae's using GSD

$$\frac{S}{m} = \frac{S}{\rho V} = \frac{6D_2}{\rho D_3} = \frac{6}{\rho} \frac{\langle D \rangle}{\langle D \rangle^2 + 2\sigma^2}$$

$$D_V = \frac{D_4}{D_3} = \frac{\langle D \rangle^2 + 3\sigma^2}{\langle D \rangle}$$



Interesting results!!!!!!!

Катализическая активность

Pt/C нанокатализаторов.

Всегда ли размер имеет

значение?

I.N. Leontyev, S.V. Belenov, V.E. Guterman, P. Haghi-Ashtiani,
A. P. Shaganov, B. Dkhil J. Phys. Chem. C, 115 (2011) 5429–5434.

Samples of investigations

**Carbon-supported nanoscale Pt/C catalysts
for the low temperature fuel cells**

Methods

XRD, HRTEM, cyclic voltammetry (CV)

Sample preparation

Chemical reduction method

Aims

**Influence of solvent composition on structural and
microstructural parameters of the Pt/C materials
and studying their electrocatalytic activity**



Swiss-Norwegian Beam Lines
at ESRF



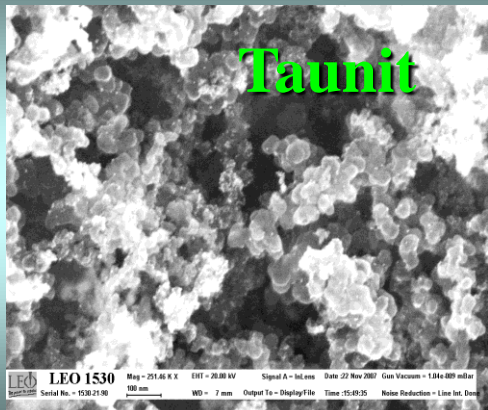
Catalyst preparation

Precursor – $\text{H}_2\text{PtCl}_6 \cdot 6\text{H}_2\text{O}$

Solvent— H_2O -dimethyl sulfoxide (DMSO)

Reducing agents— NaBH_4

Carbon support



DMSO

PT00	0%
PT17	17%
PT50	50%
PT65	65%
PT83	83%

Metal loading
20 wt%

I.N. Leontyev et al . Appl. Catal., A, 357 (2009) 1-4.

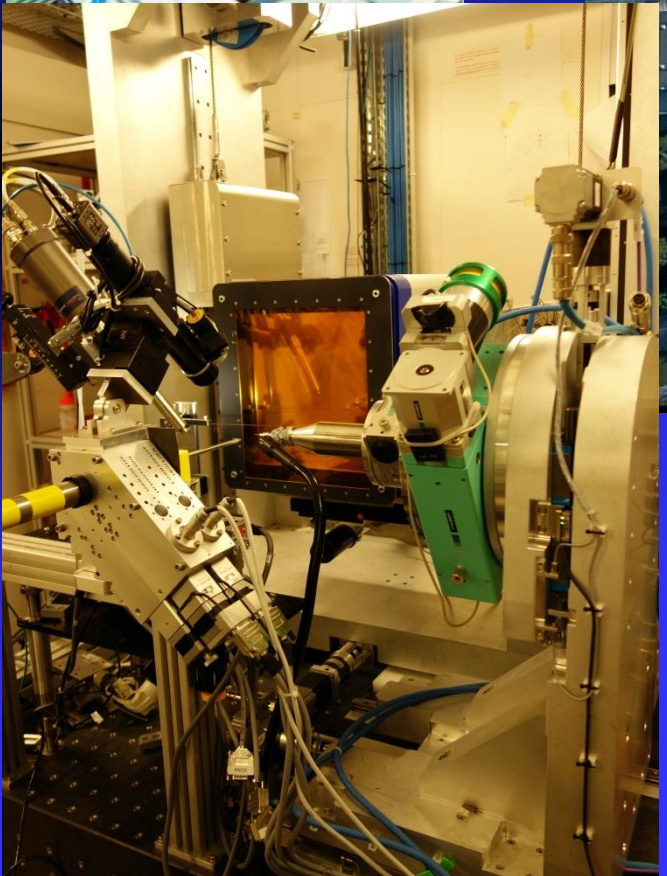
Guterman V. E. et al /Inorganic Materials, 2009, Vol. 45, No. 5, pp. 498–505.



Swiss-Norwegian Beam Lines
at ESRF



X-ray diffraction



Machine: Banding magnet source at a 3rd generation synchrotron (**BM1A** at ESRF, Grenoble, France)

Radiation: $\lambda = 0.77 \text{ \AA}$

Detector: Image plate **MAR345**

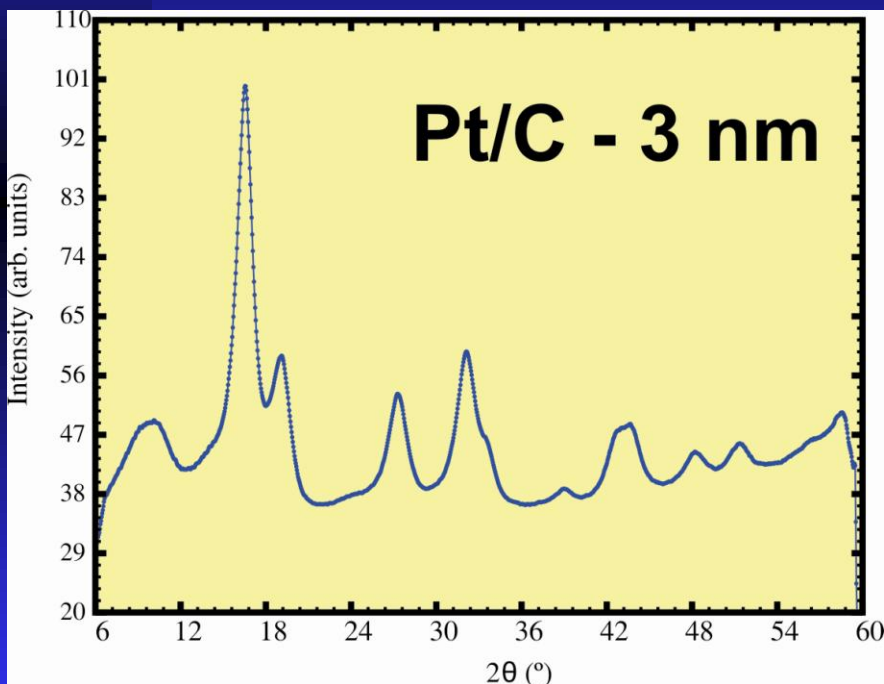


Swiss-Norwegian Beam Lines
at ESRF

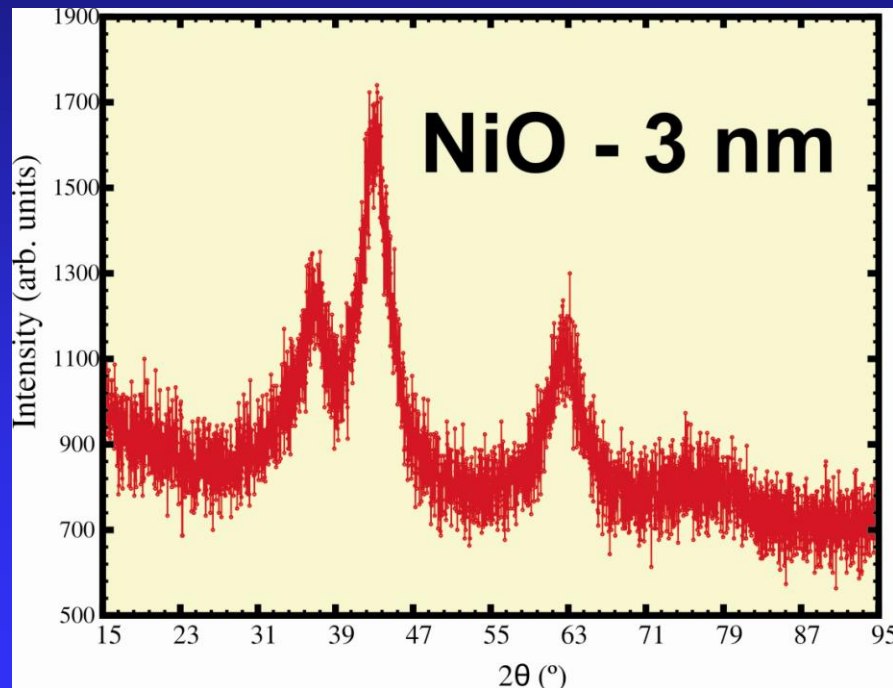


XRD powder patterns obtained using

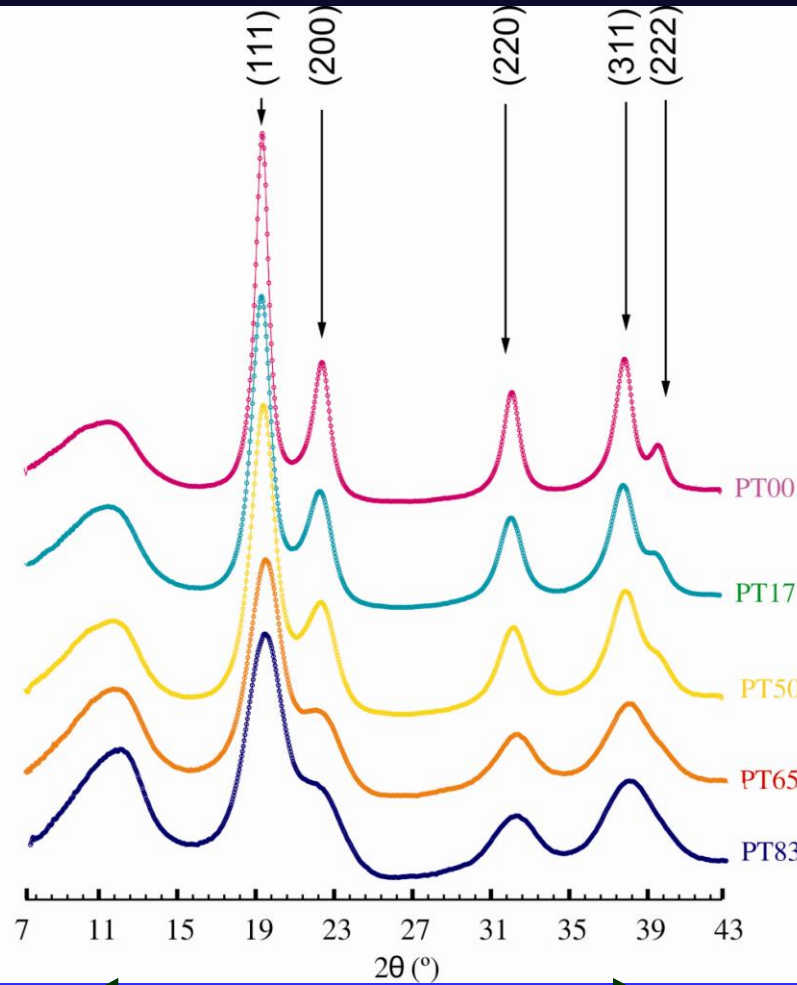
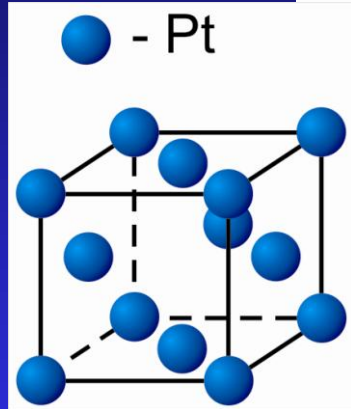
synchrotron radiation + MAR345



laboratory equipment



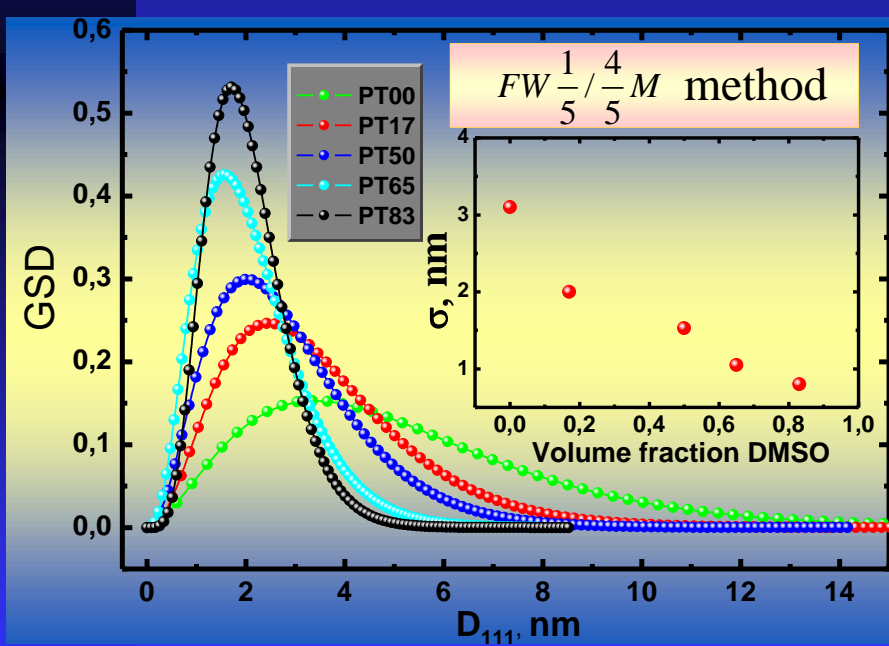
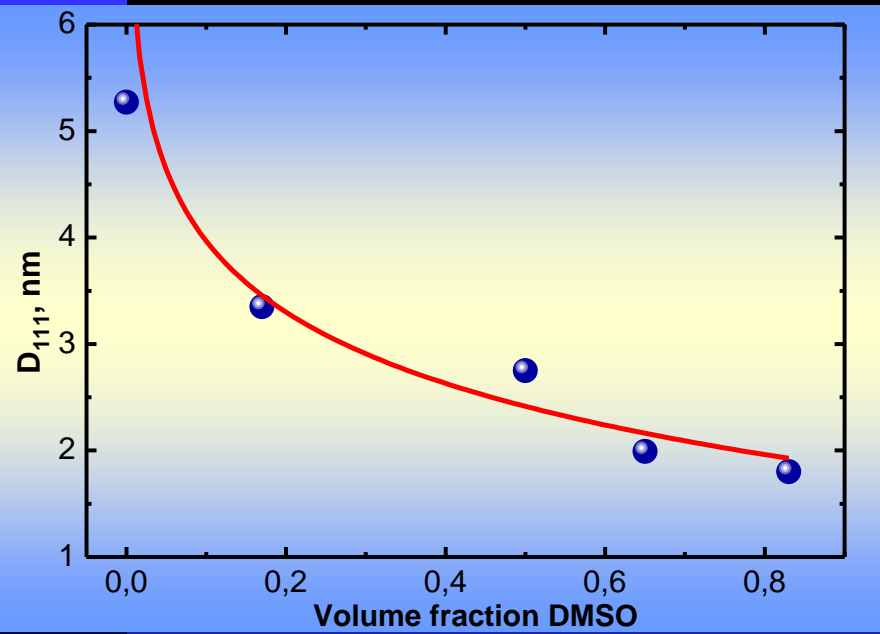
Powder diffraction patterns



DMSO concentration

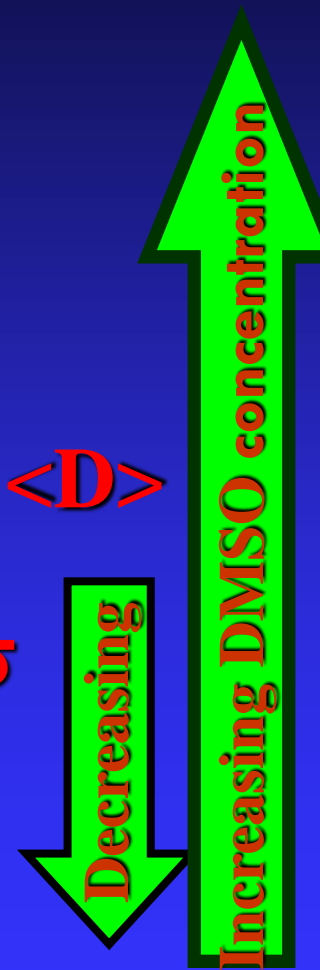
FWHM

Influence of the solvent



Average particle size $\langle D \rangle$

GSD dispersion σ



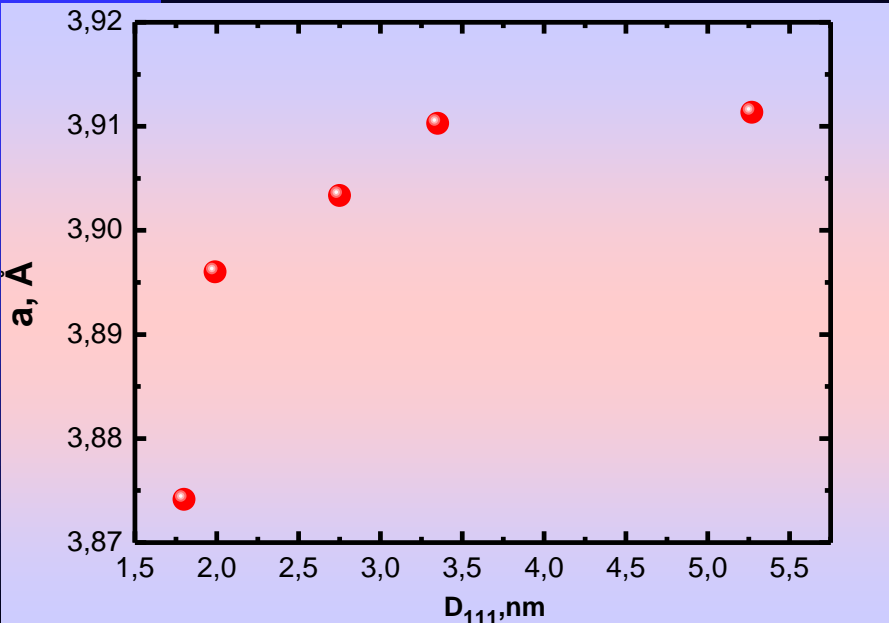
R. Pielaszek // J Alloys and Compounds 382 (2004) 128–132
A. Vorobiev et al // J. Appl. Cryst. (2008). 41, 831–835

Average particle size $\langle D \rangle$

Unit cell parameter a

GSD dispersion σ

Decreasing



Mass activity

Increasing

$\langle D \rangle$

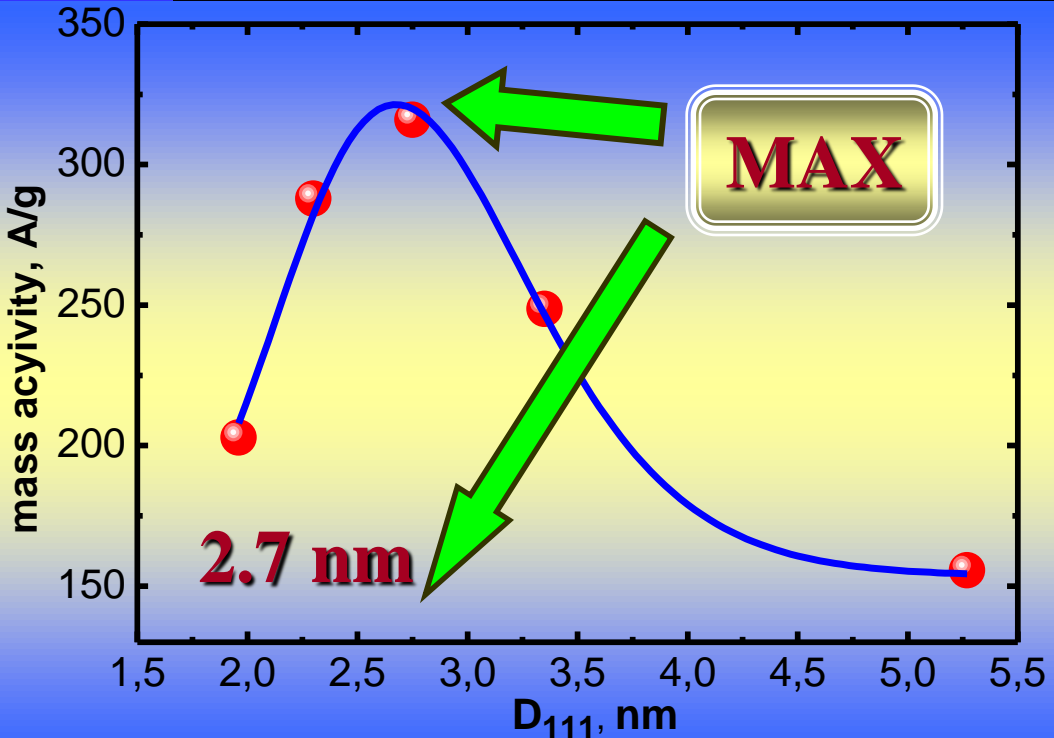
Increasing
DMSO concentration

M.-k. Min et al. : Electrochimica Acta 45 (2000) 4211–4217



Swiss-Norwegian Beam Lines
at ESRF





ORR activity of the synthesized catalysts

Particles SHAPE??!

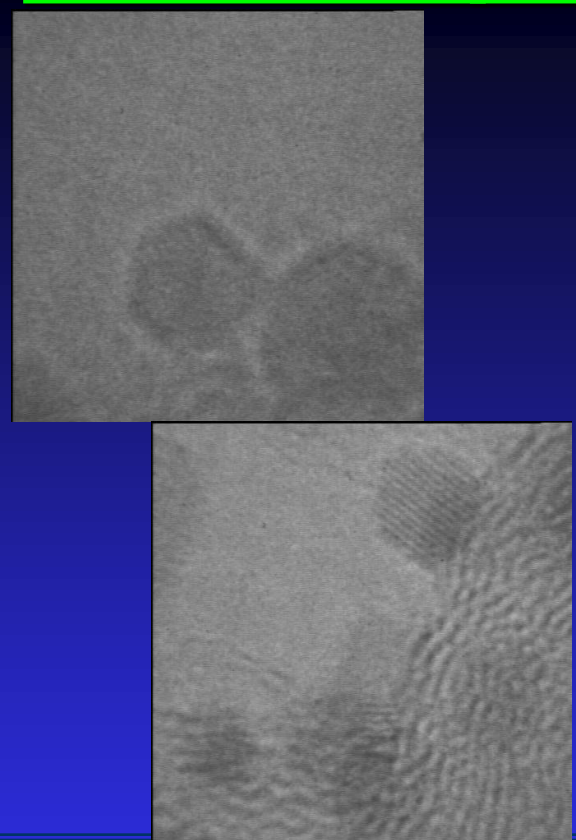
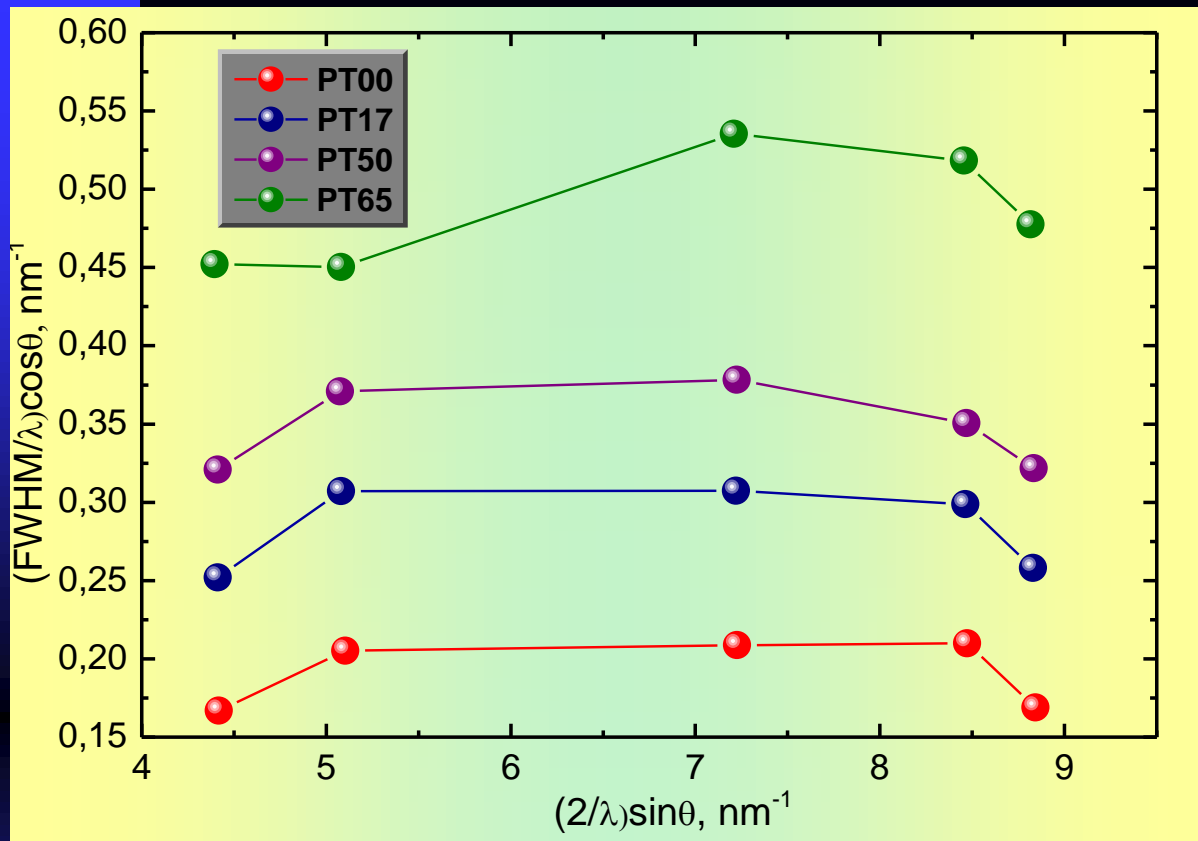
Markovic *et al.* have reported that the catalytic activity of Pt single crystals in a H_2SO_4 medium, which is commonly used for PEMFCs, depends on the surface orientation, and increases in the following order:

$$\text{Pt}\{111\} < \text{Pt}\{100\} < \text{Pt}\{110\}.$$

These differences are attributed to the structure sensitivity of (bi)sulfate anion adsorption and its inhibiting effect

N.M. Markovic et al // J. Phys. Chem. 99 (11) (1995) 3411.

N.M. Markovic et al // J. Electroanal. Chem. 377 (1994) 249



Anisotropic line broadening

Anisotropic size

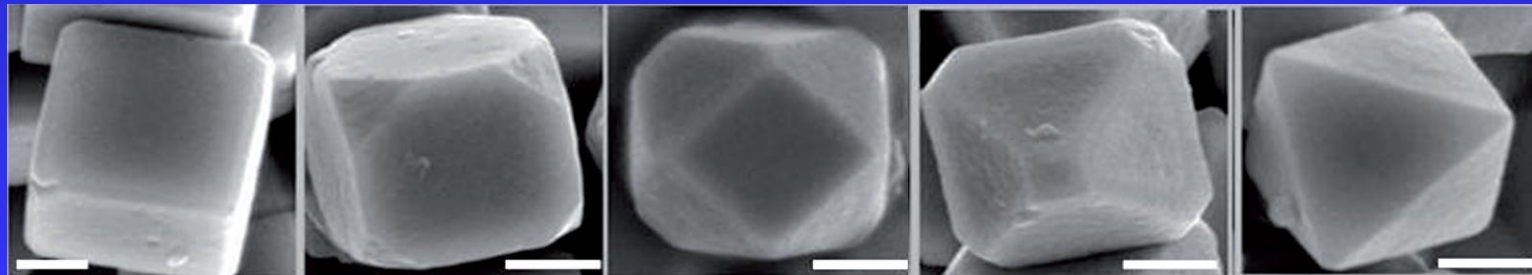
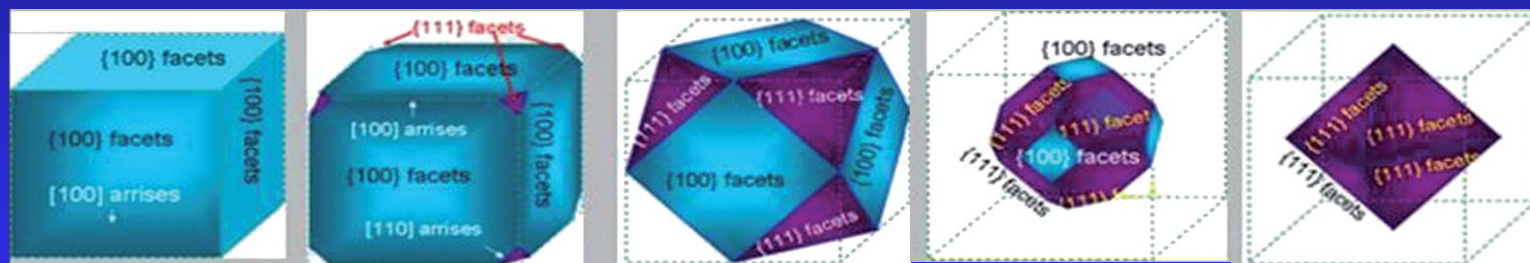
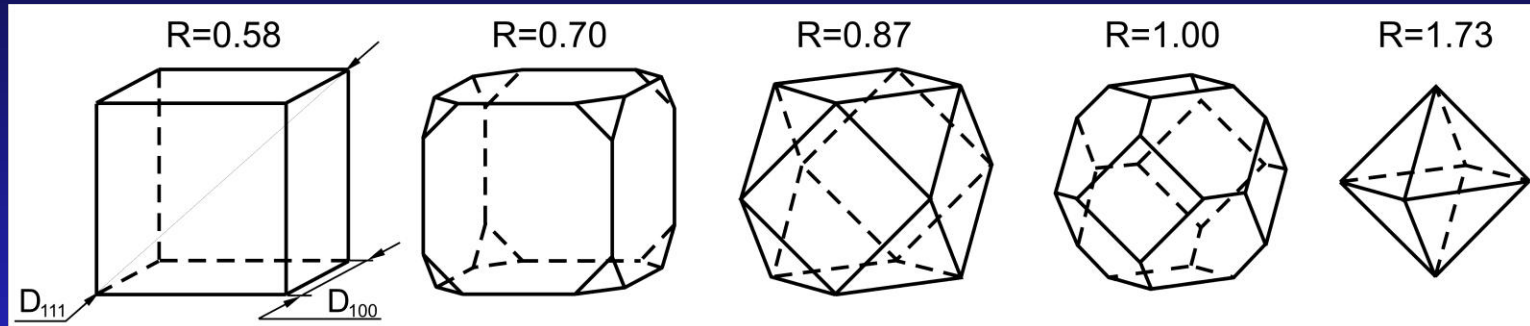
Stacking-faults

~~Dislocations~~



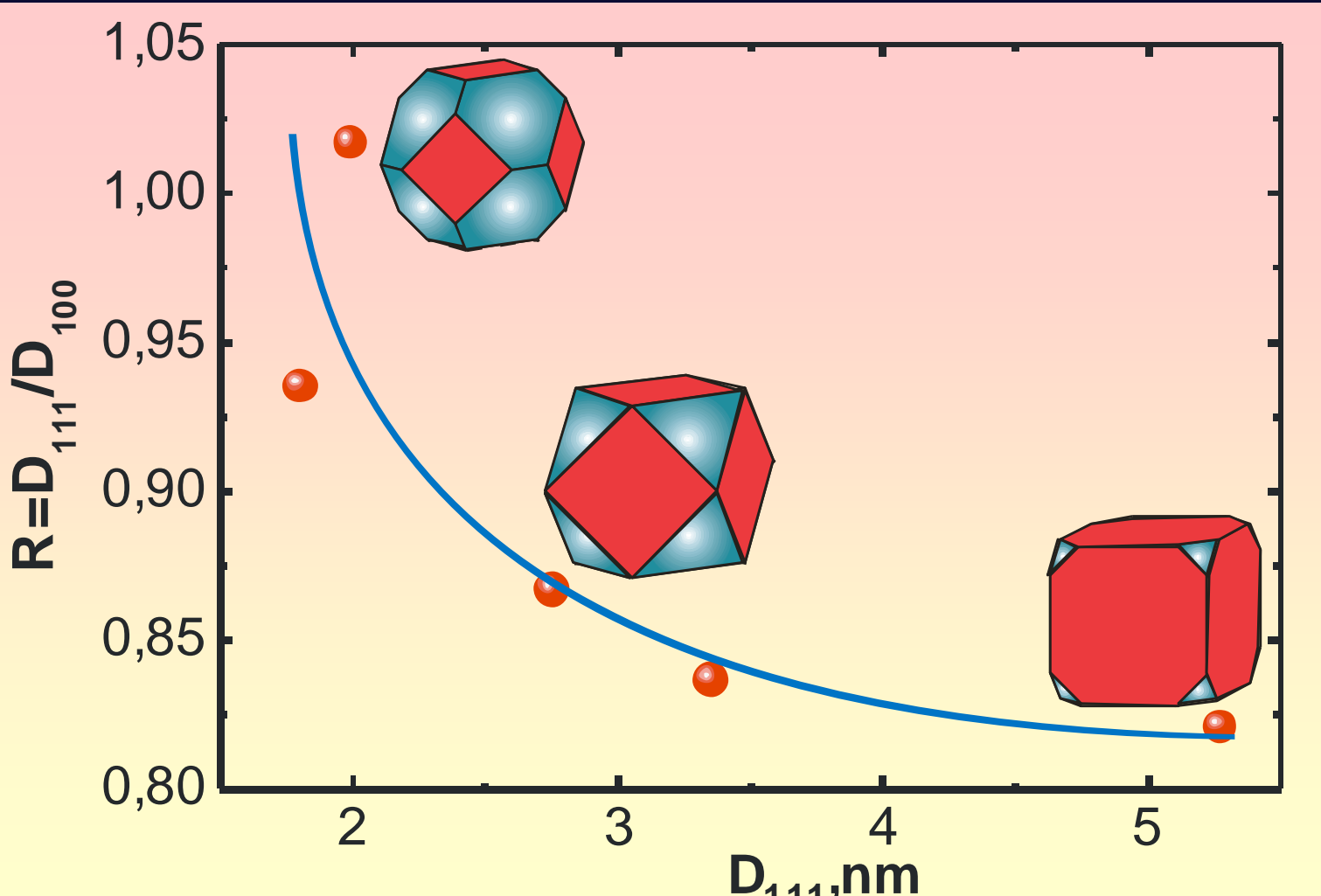
Shape of nanoparticles

$$R = \frac{D_{100}}{D_{111}}$$



Swiss-Norwegian Beam Lines
at ESRF

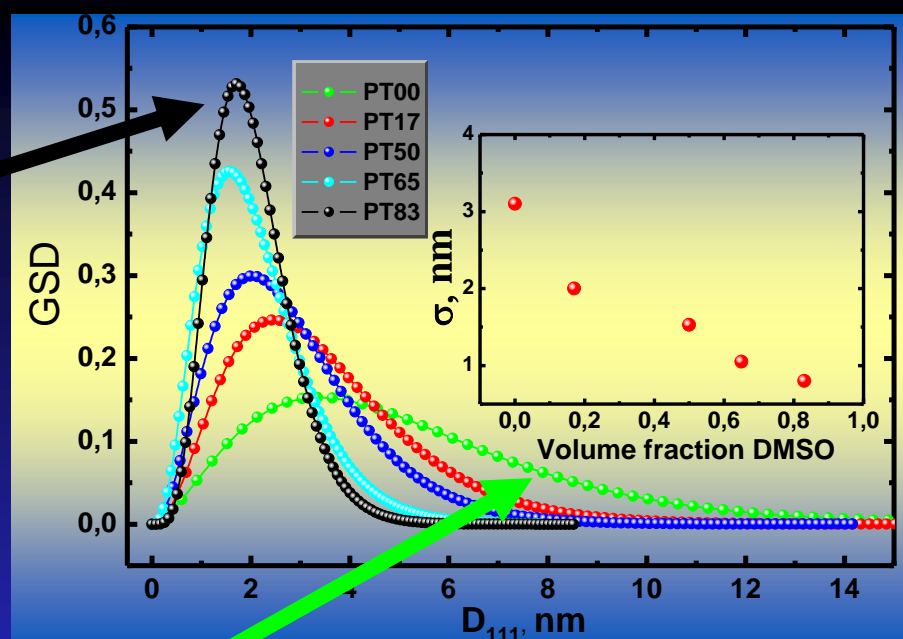
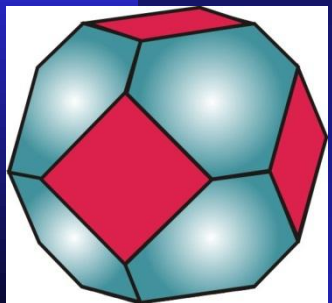




High DMSO concentration

Nucleation

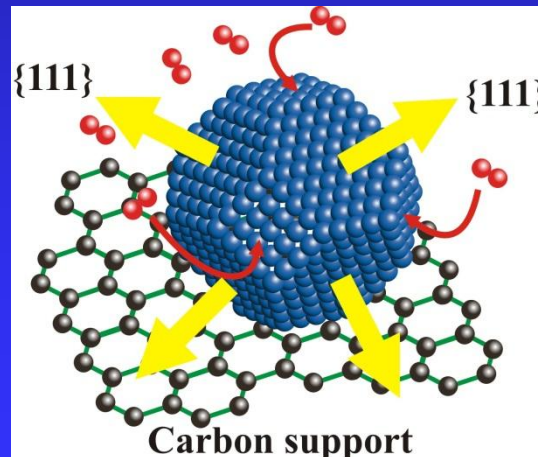
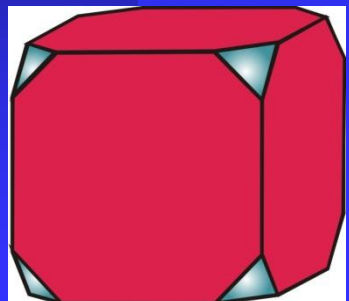
Grows



Low DMSO concentration

Nucleation

Grows

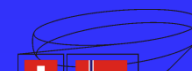
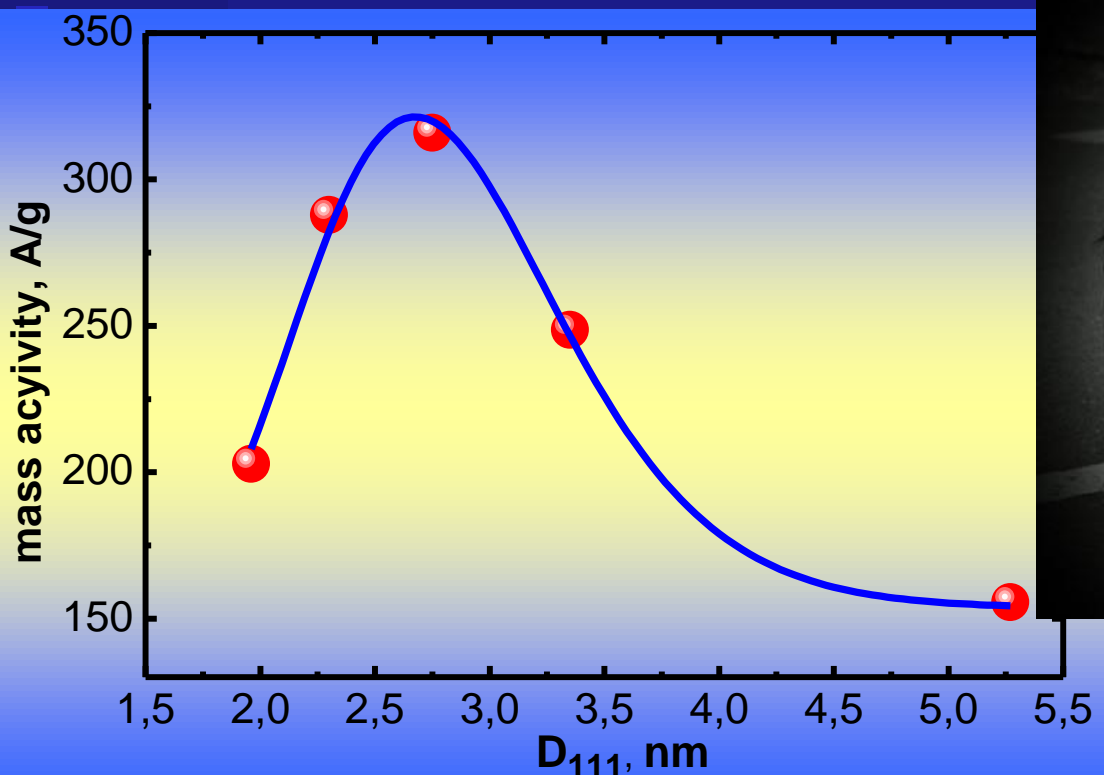


Increasing S_{111}

Decreasing S_{100}

Average particle size $\langle D \rangle$
Unit cell parameter a

GSD dispersion σ



Swiss-Norwegian Beam Lines
at ESRF

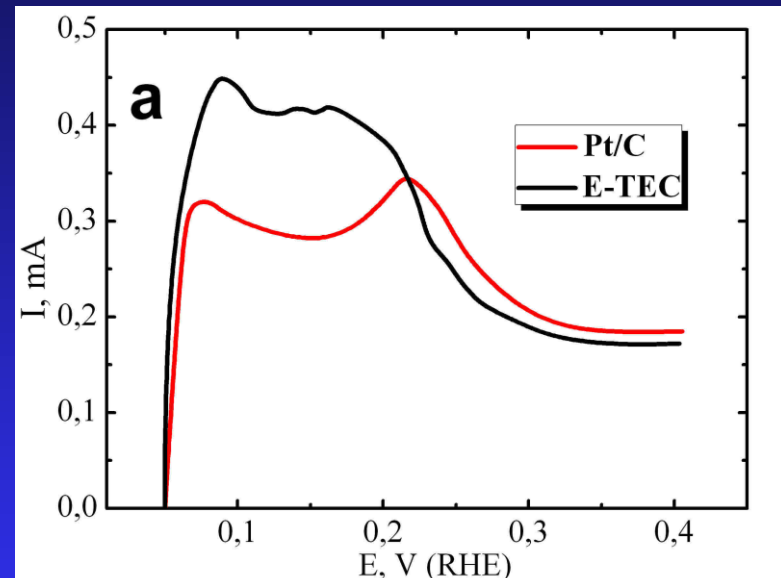
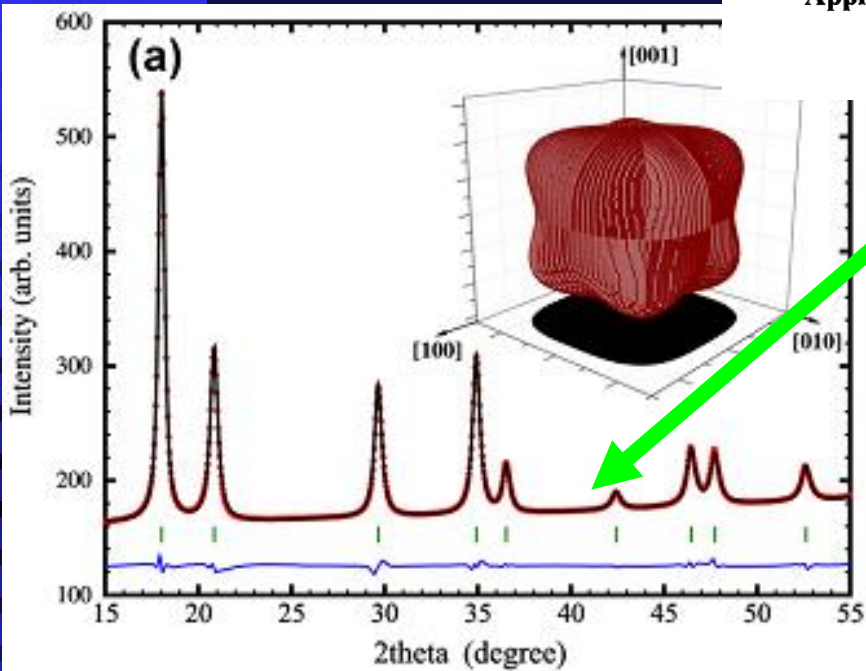


Nanoparticles Shape determination using Rietveld refinement

J. Appl. Cryst. (1993). **26**, 525–531

Application of Symmetrized Harmonics Expansion to Correction of the Preferred Orientation Effect

BY M. JÄRVINEN



Leontyev I., Kuriganova A., Kudryavtsev Y., Dkhil B., Smirnova N. *Applied Catalysis A-General* **431**, 120-125 (2012)

Acknowledgements



Швейцарско-Норвежский институт
в Южной Швейцарии
Swiss-Norwegian Institute
SNI ESSRF



Спасибо за внимание!

Надеюсь, что Вам не было скучно



The end!